

بِسْمِ اللَّهِ الرَّحْمَنِ الرَّحِيمِ



تعیین منحنی پراکندگی تئوریکی امواج رالی در محیط های لایه ای و بررسی اثر مودهای مختلف موج رالی بر روی آن

سید ابراهیم گلابی

۱۳۸۲ / ۰۷ / ۲۷

استاد راهنمای: دکتر توحید اخلاقی

دانشکده فنی - دانشگاه آرومیه
گروه عمران
دی ماه ۱۳۸۲

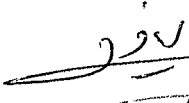
۶۱۹۷۷

پایاننامه برای دریافت درجه کارشناسی ارشد مهندسی عمران - خاک و پی

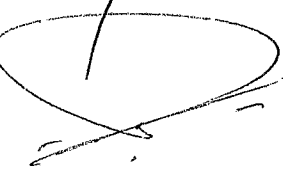
پایاننامه کارشناسی ارشد عمران - خاک و پی با عنوان تعیین منحنی پراکندگی تئوریکی امواج رالی در محیط های لایه ای و بررسی اثر مودهای مختلف موج رالی بر روی آن به تاریخ ۱۱/۸/۸۲ و شماره ۹۰-۳۰۹ مورد پذیرش هیات محترم داوران با رتبه عالی و نمره ۱۹ قرار گرفت.



۱- استاد راهنمای و رئیس هیات داوران: دکتر رحیم احمدی



۲- داور خارجی: دکتر محمد صنیع منفر



۳- داور داخلی: دکتر محمد رضا سید امیری



۴- نماینده تحصیلات تکمیلی: دکتر حبیب سعید میرزا

تقدیم به:

مادرم عزیزم. خداوند مهربانی که پیوسته
مدیون محبت های او می باشم.

پدر عزیزم. پشتوانه گرم زندگیم. مظہر
ایمان و تقوی در زندگیم.

شهر گرامیم. به خاطر تشویق.
راهنمایی و بردباری بی دریغش.

تقدیر و تشکر

حال که با عنایات پروردگار متعال کار تحقیقاتی این پایان نامه با موفقیت به پایان رسیده است وظیفه خود می دانم از زحمات و کوشش های فراوان استاد راهنمای گرامی جناب آقای دکتر توحید اخلاقی که در طول این مدت با راهنمایی ها و ارشادات بی دریغشان مرا در تدوین این تحقیق یاری نمودند کمال تشکر و قدر دانی را به عمل آورم.

از مساعدت ها و راهنمایی های ارزنده آقایان مهندسین سارخانی و دیزجی که در طول این تحقیق از من درین نکردن قدردانی می نمایم. همچنین از مساعدت ها و همکاری های فراوان مدیریت و پرسنل شرکت آذر ادامان کمال قدردانی را دارم.

از اساتید عالی قدر دوره کارشناسی ارشد آقایان دکتر بدوانی، دکتر مومیوند، دکتر محمدی و دکتر مدرس به خاطر راهنمایی ها و زحماتشان کمال تشکر را دارم. در خاتمه از دوستان دوره کارشناسی ارشد به ویژه آقایان مهندسین زادکریم، ماهوتی، نقیلی، گلگون، جعفری و نبی زاده به خاطر ارائه کمکها، نظرات و پیشنهادات ارزنده کمال تشکر و سپاسگذاری را دارم.

سید ابراهیم گلابی

دی ماه ۸۲

فهرست مطالب

صفحه

عنوان

فصل اول: اهداف تحقیقاتی پایان نامه

| | |
|---|--------------------------------------|
| ۱ | ۱-۱- مقدمه |
| ۲ | ۲-۱- معرفی روش SASW |
| ۴ | ۳-۱- تبیین اهداف تحقیقاتی پایان نامه |

فصل دوم: انتشار امواج در خاک

| | |
|----|--|
| ۵ | ۱-۲- مقدمه |
| ۶ | ۱-۱-۱- انتشار امواج در حالت یک بعدی |
| ۶ | ۱-۱-۱-۱- امواج طولی در یک میله با طول نامحدود |
| ۸ | ۱-۱-۱-۲- امواج پیچشی در یک میله با طول نامحدود |
| ۹ | ۱-۱-۲- حل معادله یک بعدی حرکت |
| ۱۱ | ۱-۲-۱- انتشار امواج در حالت سه بعدی |
| ۱۲ | ۱-۲-۲-۱- مروری بر پارامترهای تنش |
| ۱۳ | ۱-۲-۲-۱- مروری بر پارامترهای کرنش |
| ۱۷ | ۱-۲-۲-۲-۱- معادلات حرکت در یک محیط الاستیک سه بعدی |
| ۱۸ | ۱-۲-۲-۲-۴- جوابهای معادلات سه بعدی حرکت |
| ۲۰ | ۱-۲-۳-۱- امواج منتشره در خاک |
| ۲۱ | ۱-۲-۳-۱-۱- امواج حجمی |
| ۲۱ | ۱-۲-۳-۱-۲- امواج سطحی |
| ۲۱ | ۱-۲-۳-۱-۳-۱- موج رالی (Rayleigh Wave) |
| ۲۵ | ۱-۲-۳-۱-۴- سرعت موج رالی |
| ۲۶ | ۱-۲-۳-۱-۵- دامنه تغییر مکان موج رالی |

عنوان

صفحه

| | |
|----|-------------------------------------|
| ۲۸ | ۱-۲-۳-۶- موج لاو |
| ۳۱ | ۱-۲-۳-۷- امواج سطحی بامودهای بالاتر |
| ۳۱ | ۱-۲-۳-۸- پراکندگی امواج سطحی |

فصل سوم: آزمایشات ژئوفیزیکی و ژئوتکنیکی

| | |
|----|---|
| ۳۴ | ۱-۳- مقدمه |
| ۳۴ | ۱-۱-۱- آزمایشات آزمایشگاهی |
| ۳۵ | ۱-۱-۲- آزمایشات در محل |
| ۳۶ | ۱-۲-۱- آزمایش انعکاس لرزه‌ای |
| ۳۸ | ۱-۲-۲- آزمایش انکسار لرزه‌ای |
| ۳۹ | ۱-۱-۳- آزمایش برداشت شناور |
| ۴۰ | ۱-۱-۴- آزمایش امواج عبوری |
| ۴۱ | ۱-۱-۵- آزمایش امواج نزولی (یا صعودی) |
| ۴۳ | ۱-۱-۶- آزمایش مخروط لرزه‌ای |
| ۴۳ | ۱-۱-۷- آزمایش FWD |
| ۴۳ | ۱-۱-۸- آزمایش آنالیز طیفی امواج سطحی (SASW) |

فصل چهارم: FWD و کاربرد آن در ارزیابی و شناسایی سیستم‌های

چند لایه ای

| | |
|----|---|
| ۴۴ | ۱-۴- مقدمه |
| ۴۶ | ۴-۲- تکنیکهای تغییر شکل استاتیکی |
| ۴۷ | ۴-۲-۱- تیر بنکلمن |
| ۴۸ | ۴-۲-۲- تغییر شکل نگارصلیبی |
| ۵۰ | ۴-۳-۲- مزایا و معایب روش تغییر شکل استاتیکی |
| ۵۱ | ۴-۳-۳- روش‌های آزمایشات دینامیکی |

| <u>صفحه</u> | <u>عنوان</u> |
|-------------|---|
| ۵۳..... | ۴-۳-۱- اجزای دستگاه FWD |
| ۵۳..... | ۴-۳-۱-۱- صفحه بارگذاری |
| ۵۴..... | ۴-۳-۱-۲- وزنهای سقوطکننده و سکوی بارگذاری |
| ۵۲..... | ۴-۳-۱-۳- سپرهای لاستیکی |
| ۵۴..... | ۴-۳-۱-۴- حسگرهای بار |
| ۰۵ | ۴-۳-۱-۵- ژئوفن‌ها |
| ۰۵ | ۴-۳-۱-۶- میله بالا و پائین رونده |
| ۵۶..... | ۴-۳-۱-۷- سیستم پروسسور ۸۶۰۰ و کامپیوتر |
| ۵۶..... | ۴-۳-۲- روش انجام آزمایش FWD |
| ۵۷..... | ۴-۳-۳- دستگاه تغییر شکل سنج با وزنهای سنگین |
| ۵۸..... | ۴-۳-۴- دستگاه پروفیلمتر سبک لایه‌های روسازی |
| ۵۹..... | ۴-۳-۵- دستگاه مشخص کننده سطح جاده |
| ۶۰ | ۴-۳-۶- دستگاه شبیه ساز وسایل نقلیه سنگین |
| ۶۰ | ۴-۴- مقایسه بین روش‌های تغییر شکل استاتیکی و دینامیکی |
| ۶۱..... | ۴-۵- نرم‌افزارهای آنالیز برگشتی |
| ۶۲..... | ۴-۱- نرم‌افزار ELMOD |
| ۶۲..... | ۴-۲- نرم‌افزار EFROND |

فصل پنجم: روش آنالیز طیفی امواج سطحی (*SASW*) در سیستم‌های چند لایه‌ای و روسازی‌ها

| | |
|----------|-------------------------------|
| ۶۴..... | ۵-۱- مقدمه |
| ۶۶ | ۵-۲- روش آزمایش <i>SASW</i> |
| ۷۰ | ۵-۳- ابزار آزمایش <i>SASW</i> |
| ۷۲ | ۵-۴- زمینه روشن <i>SASW</i> |
| ۷۴..... | ۵-۵- منحنی پراکندگی تجربی |

| <u>عنوان</u> | <u>صفحه</u> |
|--|-------------|
| ۶-۵- مرحله وارونه سازی | ۷۰ |
| ۶-۵-۱- تاریخچه پیشرفت روش‌های برگردان | ۷۰ |
| ۶-۵-۲- استفاده از پراکندگی امواج سطحی برای تعیین خواص لایه‌های روپوش | ۷۸ |
| ۶-۵-۳- روش آنالیز طیفی روپوش (Spectral Pavement Analysis) SPA | ۸۰ |
| ۶-۵-۴- اجزا دستگاه SPA | ۸۰ |

فصل ششم: روش تامسون-هسکل برای پراکندگی امواج سطحی در محیط‌های لایه‌ای

| | |
|---|----|
| ۶-۱- مقدمه | ۸۳ |
| ۶-۲- فرمول‌سازی مساله برای امواج رالی | ۸۴ |
| ۶-۳- ساده‌سازی روش برای تحلیل کامپیوتری | ۸۹ |

فصل هفتم: نرم‌افزار تعیین منحنی پراکندگی با استفاده از روش تامسون - هسکل

| | |
|--|----|
| ۷-۱- مقدمه | ۹۲ |
| ۷-۲- ساختار نرم‌افزار | ۹۲ |
| ۷-۲-۱- واحد ورودی | ۹۳ |
| ۷-۲-۲- واحد محاسبه و آنالیز | ۹۳ |
| ۷-۲-۳- استفاده از ماتریس J | ۹۳ |
| ۷-۲-۴- استفاده از مقادیر K , L , M و N | ۹۴ |
| ۷-۲-۵- واحد خروجی | ۹۰ |

فصل هشتم: رسم منحنی پراکندگی مود اساسی رالی و بررسی اثر لایه‌بندی خاک بر آن

| | |
|------------|----|
| ۸-۱- مقدمه | ۹۸ |
|------------|----|

عنوان

صفحه

| | |
|----------|---|
| ۹۹..... | ۲-۸-- تحقیق در مورد پارامتر های تولرانس ^t و نموفر کانس ^f |
| ۹۹..... | ۱-۲-۸- کالیبره نمودن نرم افزار برای حالت اجرای نرم افزار به روش ماتریس ^J |
| ۱۰۰..... | ۲-۲-۸- کالیبره نمودن نرم افزار جهت اجرای آن به روش مقادیر ^N و ^{MLK} |
| ۱۰۰..... | ۳-۸- ترسیم منحنی پراکندگی تئوریکی |
| ۱۰۱..... | ۴-۸- اثر لایه بندی خاک بر روی منحنی پراکندگی |

فصل نهم: امواج رالی با مودهای بالا

| | |
|-----------|---|
| ۱۳۰ | ۱-۹- مقدمه |
| ۱۳۱..... | ۲-۹- بررسی مودهای بالا در امواج رالی |
| ۱۳۲..... | ۳-۹- حرکات جزئی ایجاد شده توسط بارمتمرکز متناوب |
| ۱۳۴..... | ۴-۹- مشخصات پراکندگی شبیه سازی شده |
| ۱۳۶..... | ۵-۹- ایجاد منحنی پراکندگی تئوریکی مودهای مختلف امواج رالی |
| ۱۳۷..... | ۶-۹- مودهای موج رالی و پاسخ محیط |
| ۱۴۳..... | ۷-۹- رسم منحنی نسبت دامنه-فرکانس |

فصل پنجم: تاثیر لایه بندی خاک بر روی منحنی پراکندگی امواج رالی با مودهای بالا

| | |
|-----------|--|
| ۱۴۵ | ۱-۱- مقدمه |
| ۱۴۵ | ۲-۱- مدل های لایه ای مورد مطالعه |
| ۱۴۷..... | ۳-۱- منحنی های پراکندگی مدل های لایه ای |
| ۱۴۸..... | ۴-۱- بررسی منحنی های پراکندگی مودهای مختلف |
| ۱۴۹..... | ۵-۱- بحث و نتیجه گیری |

عنوان

صفحه

| | |
|---|--|
| فصل یازدهم: اثر مودهای مختلف موج رالی روی نسبت دامنه و پاسخ محیط در فضای فرکانسی | |
| ۱۵۷..... | ۱۱-۱- مقدمه |
| ۱۵۷..... | ۱۱-۲- بررسی اثر مودها روی نسبت دامنه |
| ۱۶۱..... | ۱۱-۳- بررسی اثر مودها روی پاسخ محیط |
| ۱۶۳..... | ۱۱-۴- بحث و نتیجه گیری |
| | |
| فصل دوازدهم: جمع بندی، نتیجه گیری و پیشنهادات | |
| ۱۶۰ | ۱۲-۱- خلاصه نتایج |
| ۱۶۸ | ۱۲-۲- پیشنهادات |
| ۱۷۹..... | مراجع..... |

فهرست اشکال

صفحه

عنوان

| | |
|---|----|
| شکل (۱-۱): میله محصور شده نامحدود برای انتشار امواج یک بعدی (تغیید میله در برابر کرنش شعاعی بصورت شماتیک با تعداد غلطک نشان داده شده است) | ۸ |
| شکل (۲-۲): تنها و تغییر مکانها در دو انتهای یک المان بطول dx و سطح مقطع A | ۸ |
| شکل (۲-۳): گشتاور زاویه چرخش در دو انتهای قطعه‌ای به طول dx و سطح مقطع A | ۱۰ |
| شکل (۲-۴): جابجایی ذرات؛ (الف)- به صورت تابعی از زمان، (ب)- به صورت تابعی از موقعیت در امتداد میله | ۱۲ |
| شکل (۲-۵): پارامترهای تنش برای المانی به ابعاد dx ، dy و dz | ۱۳ |
| شکل (۲-۶): المان مربعی تحت اثر تغییر شکل صفحه‌ای | ۱۵ |
| شکل (۲-۷): نمایش تنش‌هادریک المان مکعبی | ۱۷ |
| شکل (۲-۸): الف- انتشار امواج P ، ب- انتشار امواج | ۲۲ |
| شکل (۲-۹): الف- امواج لاو، ب- امواج رالی | ۲۳ |
| شکل (۱۰-۱): حرکت ایجاد شده توسط یک نمونه موج صفحه‌ای که در جهت x متشر گردد، حرکت موج تغییراتی در جهت y نخواهد داشت | ۲۳ |
| شکل (۱۱-۲): تغییرات سرعت انتشار امواج رالی و حجمی با ضریب پواسون | ۲۷ |
| شکل (۱۲-۲): حرکت قائم و افقی امواج رالی، ضریب دامنه میان آن است که تغییر مکان در خلاف جهت جابجایی سطحی می‌باشد | ۲۸ |
| شکل (۱۳-۲): نمایش شماتیکی لایه سطحی نرمنتر واقع بر روی محیط الاستیک نیمه فضایی ساده‌ترین شرایط جهت ایجاد موج لاوی می‌باشد | ۲۹ |
| شکل (۱۴-۲): تغییرات دامنه تغییر مکان ذرات با عمق برای امواج لاو | ۳۱ |
| شکل (۱۵-۲): تغییرات سرعت امواج لاو با فرکانس | ۳۲ |
| شکل (۱-۳): روش‌های مختلف تولید اغتشاشات برای آزمایشات ژئوفیزیک لرزه‌ای؛ (الف) انفجار در عمق کم، (ب) ضربه عمودی، (ج) ضربه افقی | ۳۶ |
| شکل (۲-۳): (الف)- مسیر شعاع برای موج برخورد منعکس شده P از لایه افقی مرزی؛ (ب)- تغییرات زمان حرکت برای امواج مستقیم و منعکس شده | ۳۸ |
| شکل (۳-۳): شکل شماتیکی آزمایش انکسار لرزه‌ای | ۳۹ |

| | |
|--|----|
| شکل (۳-۴): آزمایش امواج لرزه ای عبوری، (الف)- اندازه گیری مستقیم بوسیله دو گمانه، (ب)- | ۴۱ |
| شکل (۳-۵): (الف)- آزمایش امواج صعودی؛ (ب)- آزمایش امواج نزولی | ۴۲ |
| شکل (۴-۱) : پاسخ جاده به بار چرخ در حال حرکت | ۴۵ |
| شکل (۴-۲) : لایه های روسازی با تغییر شکل ماکزیمم یکسان و کاسه تغییر شکل متفاوت | ۴۵ |
| شکل (۴-۳) : استفاده ترکیبی از تغییر شکل و کاسه تغییر شکل در ارزیابی روسازی ها | ۴۶ |
| شکل (۴-۴): نمای کلی از دستگاه تیر بنکلمن | ۴۷ |
| شکل (۴-۵): نحوه انجام آزمایش با تیربنکلمن | ۴۸ |
| شکل (۴-۶): نمای کلی تغییر شکل نگار صلیبی | ۴۹ |
| شکل (۴-۷): تیر تغییر شکل تغییر شکل نگار صلیبی | ۴۹ |
| شکل (۴-۸) : روش ضبط تغییر شکل ها با استفاده از تغییر شکل نگار | ۵۰ |
| شکل (۴-۹) : نمایش شماتیک چرخه اندازه گیری تغییر شکل نگار که احتیاج به اصلاح هندسی دارد | ۵۱ |
| شکل (۴-۱۰): نحوه حمل دستگاه FWD | ۵۲ |
| شکل (۴-۱۱): نمایی از دستگاه FWD | ۵۲ |
| شکل (۴-۱۲): صفحه بارگذاری | ۵۳ |
| شکل (۴-۱۳): نمای کلی از اجزای دستگاه FWD | ۵۴ |
| شکل (۴-۱۴): نمایی از حسگر بار دینامیکی | ۵۵ |
| شکل (۴-۱۵): نمای کلی از اجزا دستگاه HWD | ۵۷ |
| شکل (۴-۱۶): اجرای آزمایش HWD در فرودگاه Vantaa هلسینکی | ۵۸ |
| شکل (۴-۱۷): نمای کلی از دستگاه Lightweight Profilometer | ۵۹ |
| شکل (۴-۱۸): نمایی کلی از دستگاه RSP | ۶۰ |
| شکل (۴-۱۹): نمای کلی از دستگاه HVS | ۷۱ |
| شکل (۴-۲۰): تصویر کلی از انجام آزمایش SASW | ۷۷ |
| شکل (۴-۲۱): انجام آزمایش SASW | ۷۷ |
| شکل (۴-۲۲): نمایی از ابزار آزمایش SASW | ۷۸ |

| |
|--|
| شکل (۴-۴): حالت‌های مختلف هندسی آرایش گیرنده - منبع، الف: حالت هندسی نقطه مشترک در وسط گیرنده ها، ب: حالت هندسی منبع مشترک ۶۹ |
| شکل (۵-۵): طول موج و سرعت فاز امواج رالی ۷۰ |
| شکل (۶-۵): الف: فاز طیفی امواج گذرنده، ب- تابع تطابق ۷۰ |
| شکل (۷-۵): یک سری از منحنی های پراکندگی تجربی به همراه منحنی پراکندگی تجربی میانگین ۷۳ |
| شکل (۸-۵): مقایسه منحنی پراکندگی تجربی و تئوریکی ۷۳ |
| شکل (۹-۵): مقطع لایه ای زمین مدلسازی شده ۷۹ |
| شکل (۱۰-۵): نمای کلی دستگاه SPA ۸۰ |
| شکل (۱۱-۵): مدل محیط لایه ای ۸۴ |
| شکل (۱۲-۵): فلوچارت الگوریتم مربوط به روش J ۹۶ |
| شکل (۱۳-۵): فلوچارت الگوریتم مربوط به روش مقادیر K, L و N ۹۷ |
| شکل (۱۴-۵): پروفیل سرعت موج برشی منطقه آماری (Ambarlı), ATS ۱۰۳ |
| شکل (۱۵-۵): منحنی های پراکندگی منطقه ATS با استفاده از مقادیر جدول (۲-۸) ۱۰۴ |
| شکل (۱۶-۵): منحنی های پراکندگی منطقه ATS با استفاده از مقادیر جدول (۳-۸) ۱۰۵ |
| شکل (۱۷-۵): منحنی های پراکندگی منطقه ATS با استفاده از مقادیر جدول (۴-۸) ۱۰۵ |
| شکل (۱۸-۵): منحنی های پراکندگی منطقه ATS با استفاده از مقادیر جدول (۵-۸) ۱۰۶ |
| شکل (۱۹-۵): منحنی های پراکندگی منطقه ATS با استفاده از مقادیر جدول (۶-۸) ۱۰۷ |
| شکل (۲۰-۵): منحنی های پراکندگی منطقه ATS با استفاده از مقادیر جدول (۷-۸) ۱۰۷ |
| شکل (۲۱-۵): پروفیل سرعت موج برشی منطقه Bolu (BOL) ۱۰۸ |
| شکل (۲۲-۵): منحنی های پراکندگی مربوط به منطقه Bolu (BOL) ۱۰۸ |
| شکل (۲۳-۵): پروفیل سرعت موج برشی منطقه سکمese (Cekmece), CAN ۱۰۹ |
| شکل (۲۴-۵): منحنی پراکندگی تئوریکی منطقه سکمese (Cekmece), CAN ۱۰۹ |
| شکل (۲۵-۵): پروفیل سرعت موج برشی منطقه دوزچی (DZC) (Duzce) ۱۱۰ |
| شکل (۲۶-۵): منحنی پراکندگی منطقه دوزچی (Duzce) ۱۱۰ |
| شکل (۲۷-۵): پروفیل سرعت موج برشی منطقه گیز (Gebze), GBZ ۱۱۱ |

| |
|---|
| شکل (۱۷-۱): منحنی پراکندگی منطقه گیز (Gebze) ۱۱۱ |
| شکل (۱۷-۲): پروفیل سرعت موج برشی منطقه ایزنیک (Iznik) ۱۱۲ |
| شکل (۱۸-۱): منحنی پراکندگی منطقه ایزنیک (Iznik) ۱۱۲ |
| شکل (۱۹-۱): پروفیل سرعت موج برشی منطقه شماره یک ایزمیت (Izmit) ۱۱۳ |
| شکل (۲۰-۱): منحنی پراکندگی منطقه شماره یک ایزمیت (Izmit) ۱۱۳ |
| شکل (۲۱-۱): پروفیل سرعت موج برشی منطقه شماره دو ایزمیت (Izmit) ۱۱۴ |
| شکل (۲۲-۱): منحنی پراکندگی منطقه شماره دو ایزمیت (Izmit) ۱۱۴ |
| شکل (۲۳-۱): پروفیل سرعت موج برشی منطقه ذکریا (Sakarya) ۱۱۵ |
| شکل (۲۴-۱): منحنی پراکندگی منطقه ذکریا (Sakarya) ۱۱۵ |
| شکل (۲۵-۱): پروفیل سرعت موج برشی منطقه یاریمکا (Yarimca) ۱۱۶ |
| شکل (۲۶-۱): منحنی پراکندگی منطقه یاریمکا (Yarimca) ۱۱۶ |
| شکل (۲۷-۱): پروفیل سرعت موج برشی منطقه LD-3 ۱۱۷ |
| شکل (۲۸-۱): منحنی پراکندگی منطقه LD-3 ۱۱۷ |
| شکل (۲۹-۱): پروفیل سرعت موج برشی منطقه LD-5 ۱۱۸ |
| شکل (۳۰-۱): منحنی پراکندگی منطقه LD-5 ۱۱۸ |
| شکل (۳۱-۱): پروفیل سرعت موج برشی منطقه LD-7 ۱۱۹ |
| شکل (۳۲-۱): منحنی پراکندگی منطقه LD-7 ۱۱۹ |
| شکل (۳۳-۱): پروفیل سرعت موج برشی منطقه LD-9 ۱۲۰ |
| شکل (۳۴-۱): منحنی پراکندگی منطقه LD-9 ۱۲۰ |
| شکل (۳۵-۱): پروفیل سرعت موج برشی منطقه LD-10 ۱۲۱ |
| شکل (۳۶-۱): منحنی پراکندگی منطقه LD-10 ۱۲۱ |
| شکل (۳۷-۱): پروفیل سرعت موج برشی منطقه LD-12 ۱۲۲ |
| شکل (۳۸-۱): منحنی پراکندگی منطقه LD-12 ۱۲۲ |
| شکل (۳۹-۱): پروفیل سرعت موج برشی منطقه بالیکا (Ballica) ۱۲۳ |
| شکل (۴۰-۱): منحنی پراکندگی منطقه بالیکا (Ballica) ۱۲۳ |
| شکل (۴۱-۱): پروفیل سرعت موج برشی منطقه شماره یک آیدینپینار (Aydinpinar) ۱۲۴ |